

FIG. 1

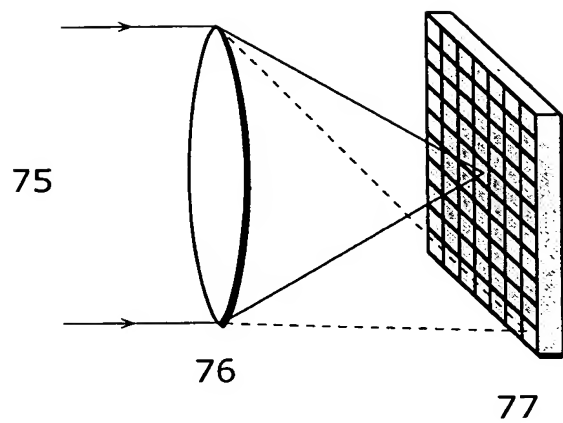


FIG. 2

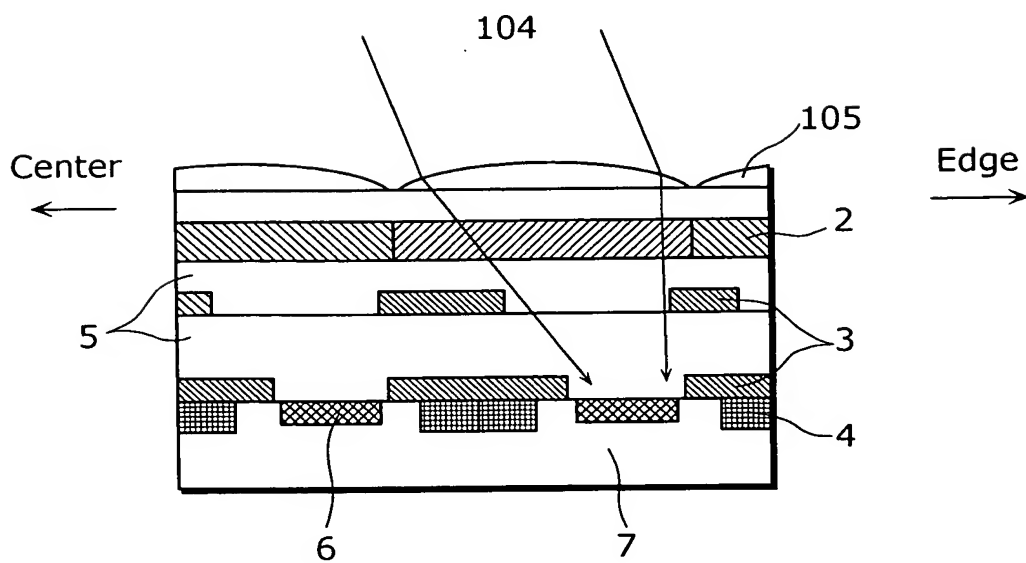


FIG. 3

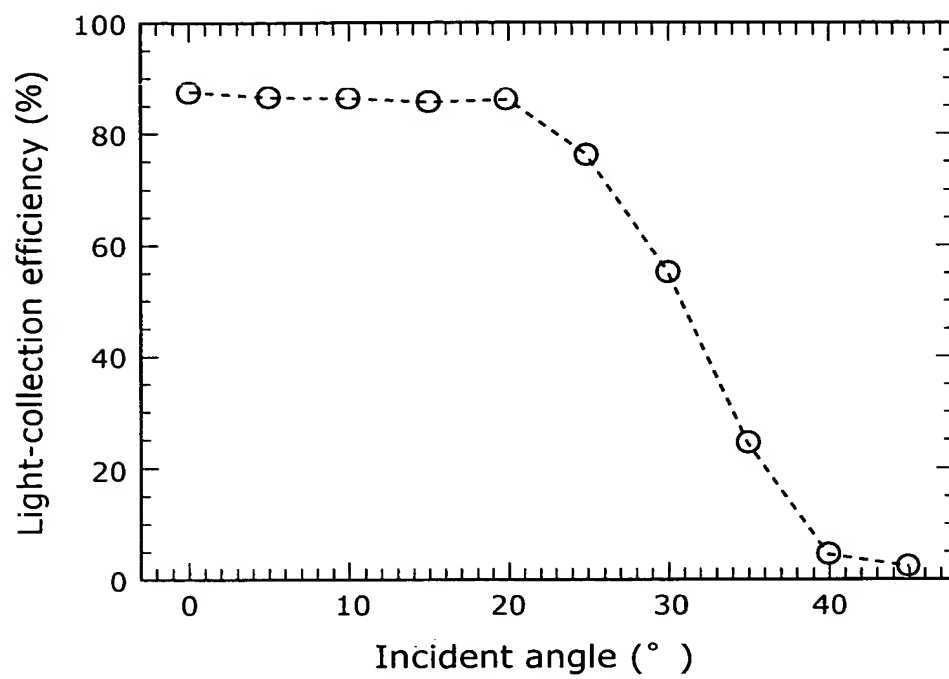


FIG. 4

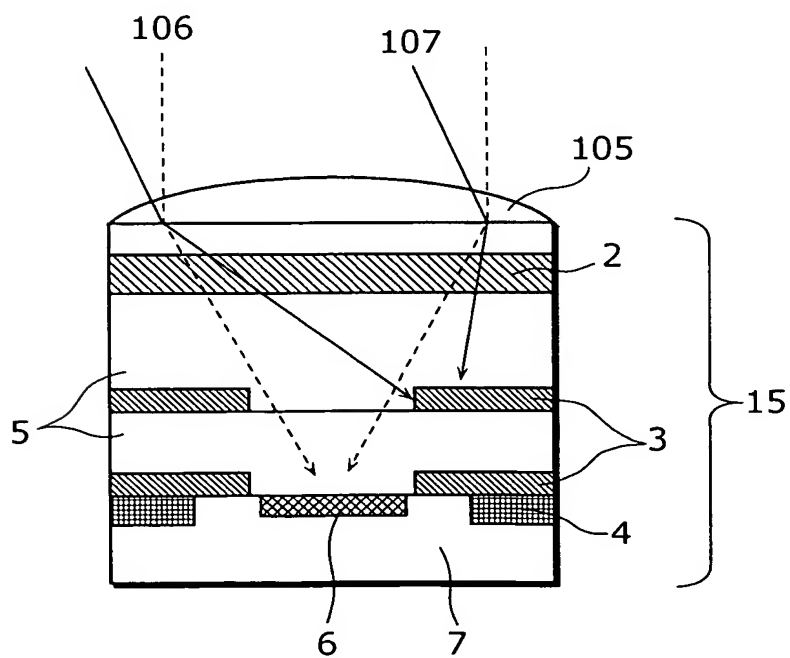


FIG. 5

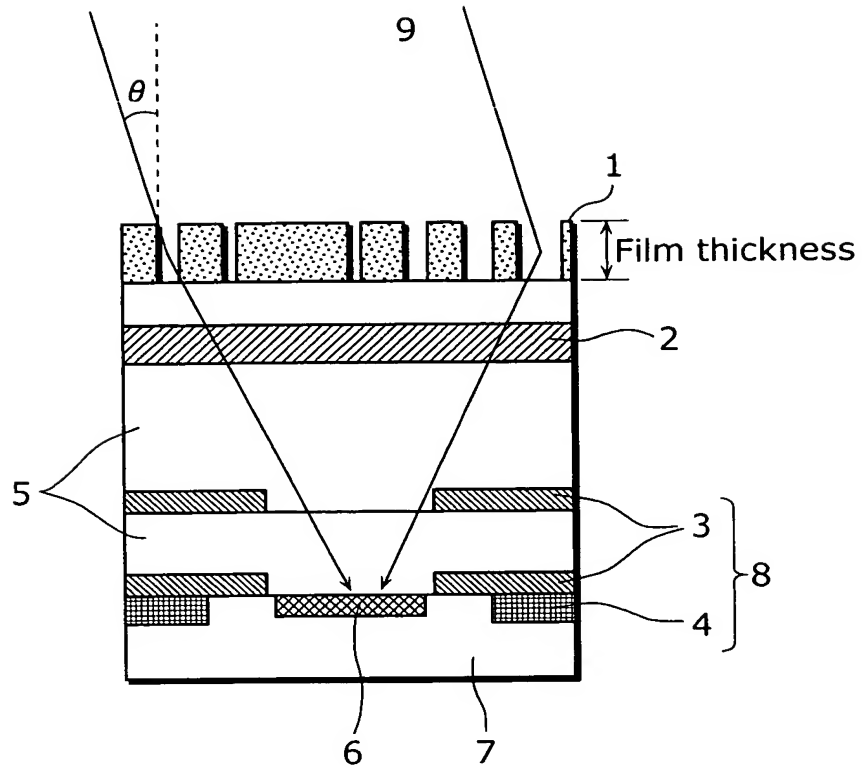


FIG. 6

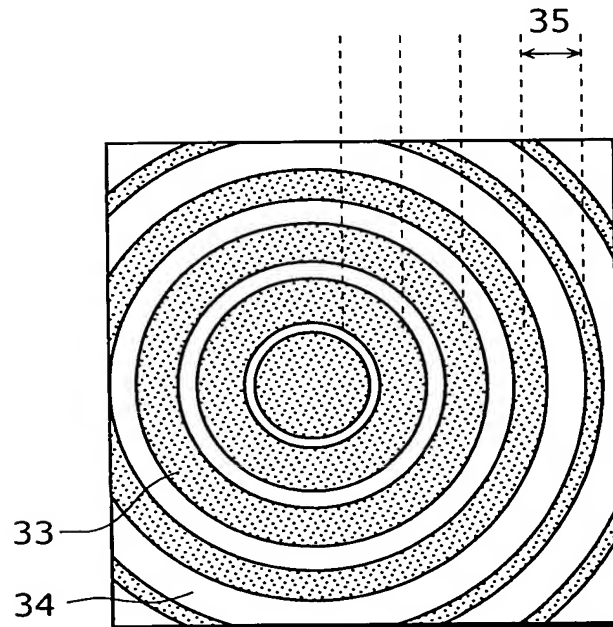


FIG. 7

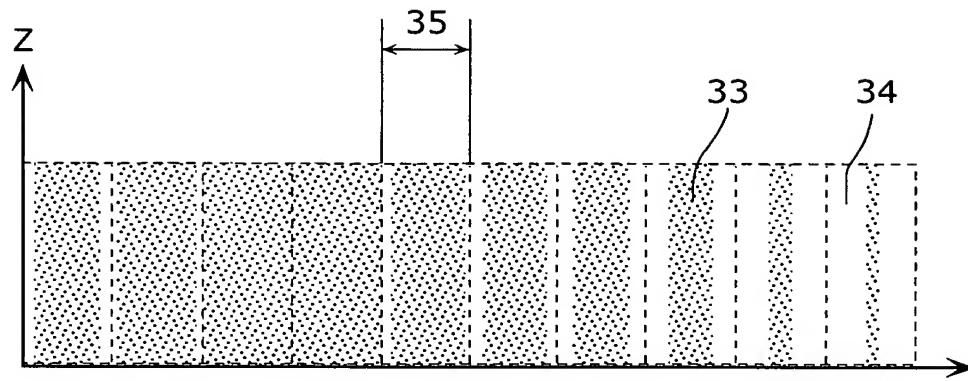


FIG. 8

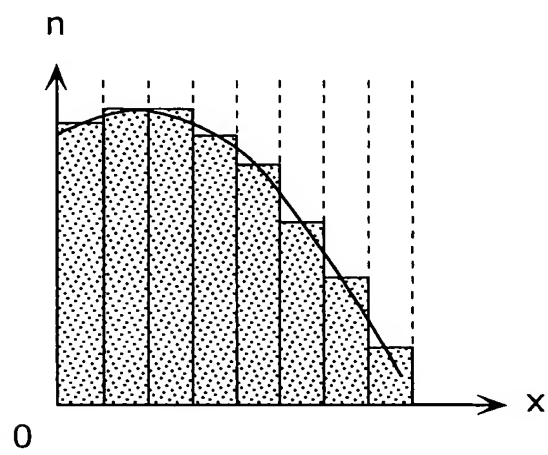


FIG. 9A

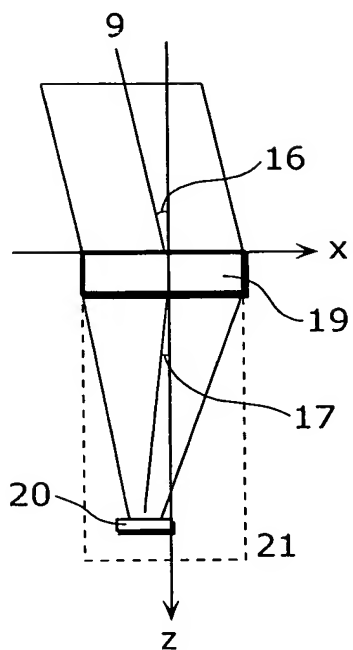


FIG. 9B

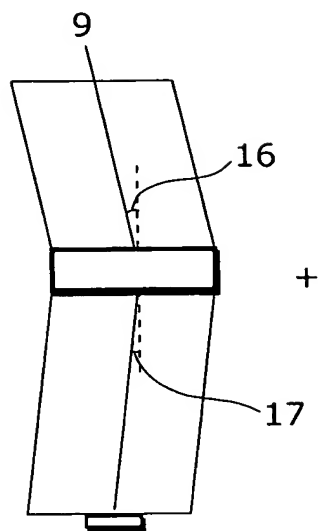


FIG. 9C

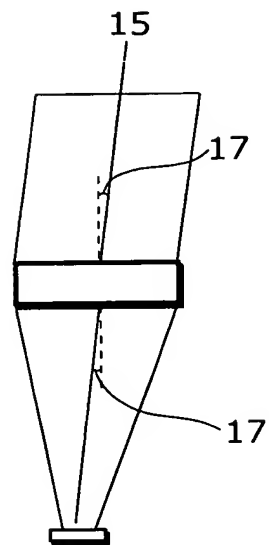


FIG. 10

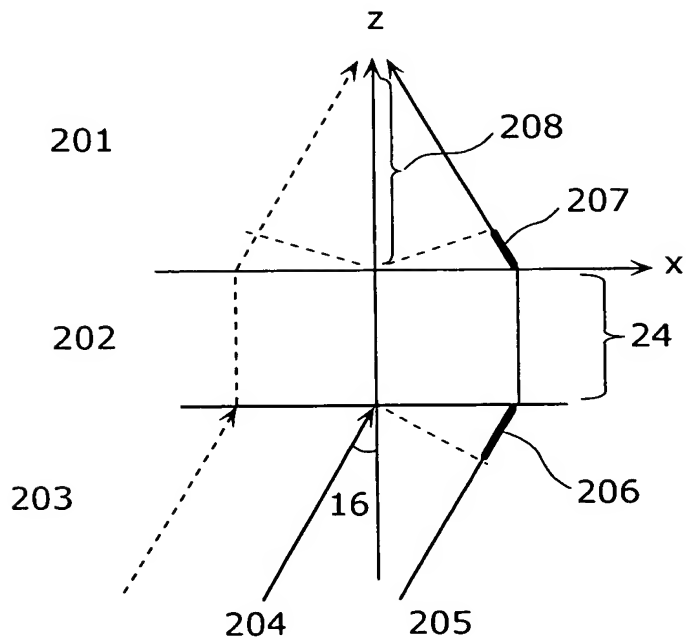
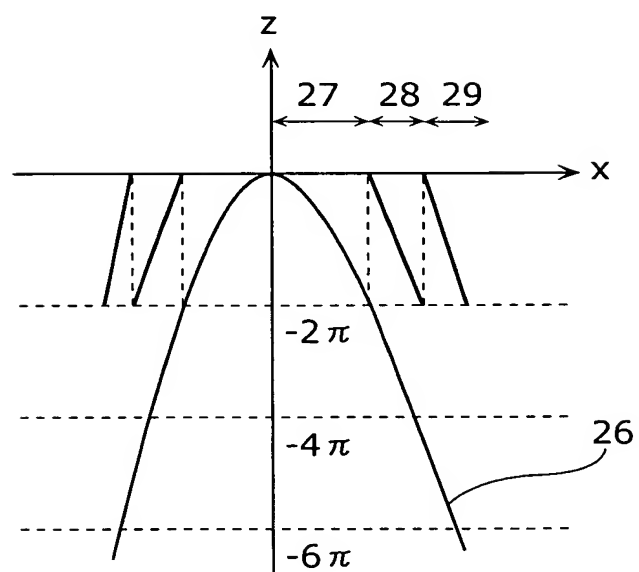


FIG. 11

Phase modulation



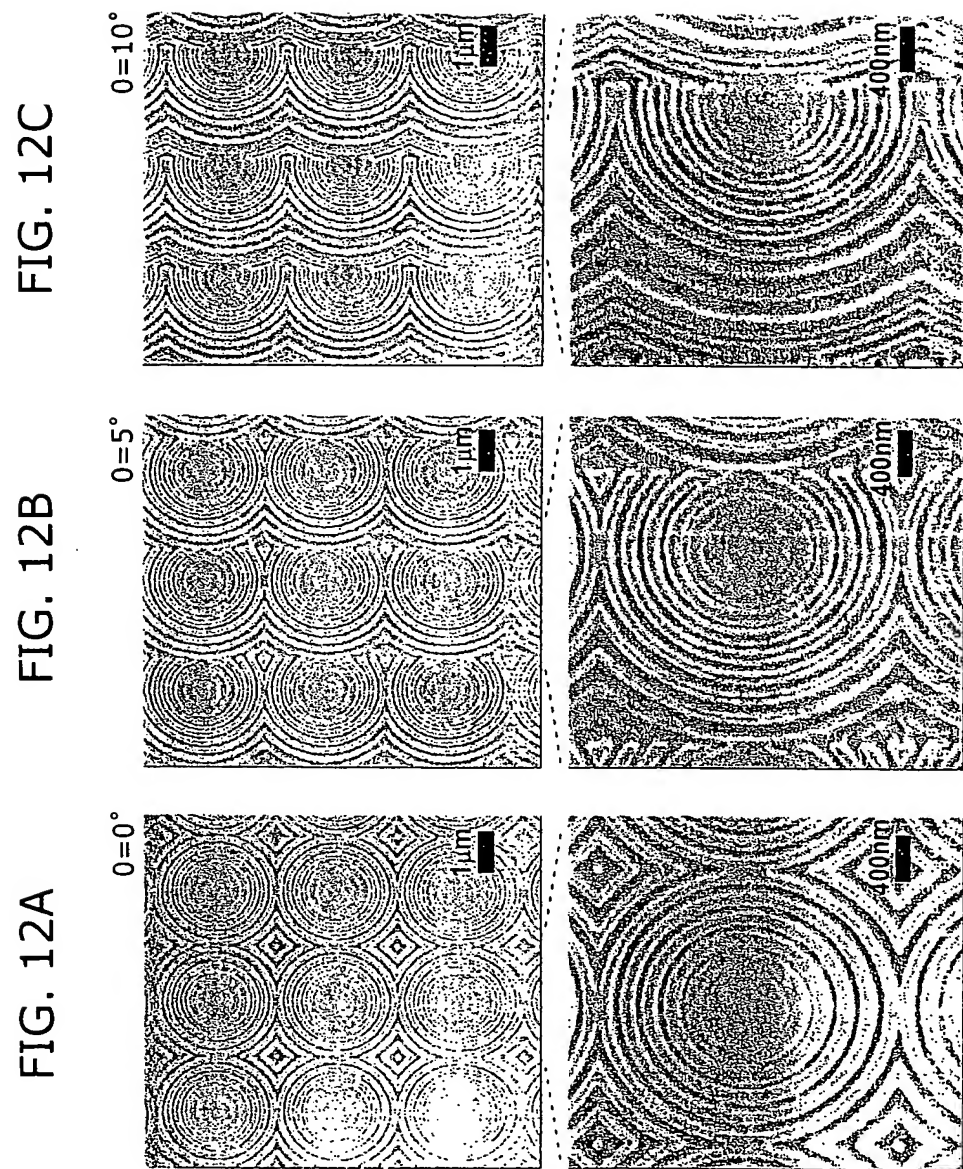


FIG. 13A

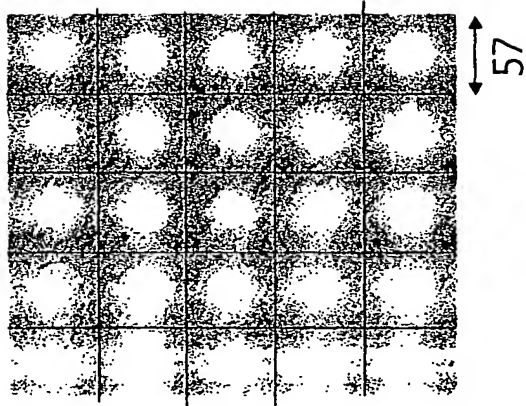


FIG. 13B

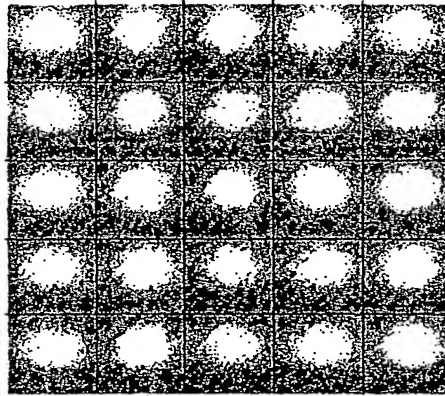


FIG. 13C

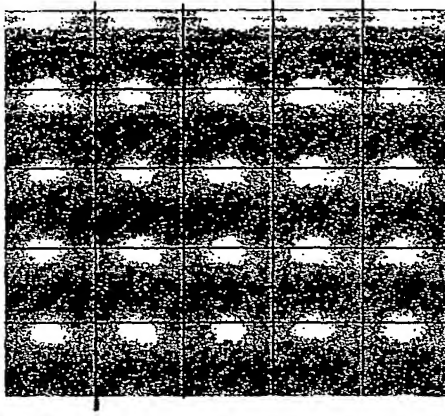


FIG. 14A

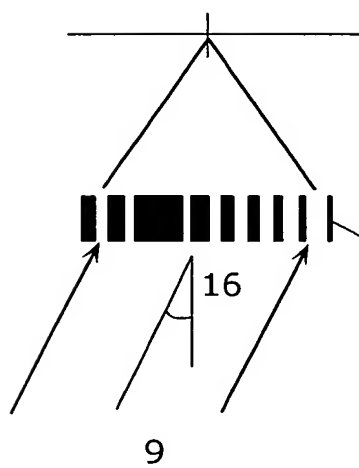


FIG. 14B

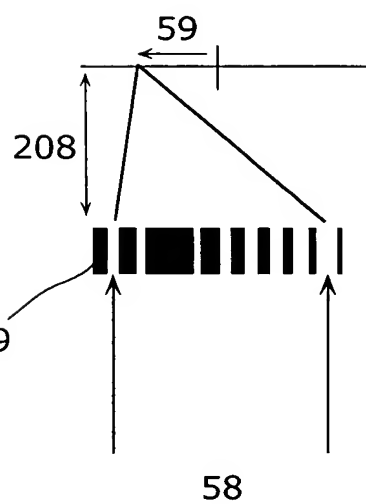


FIG. 15A

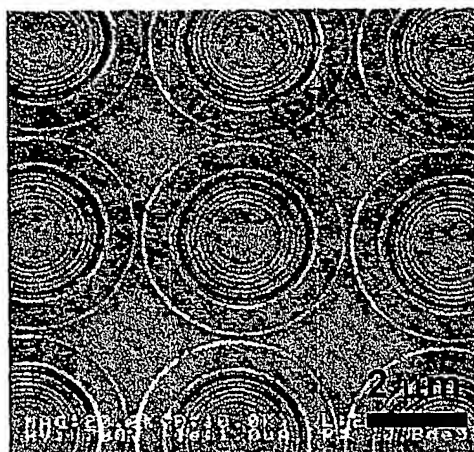


FIG. 15B

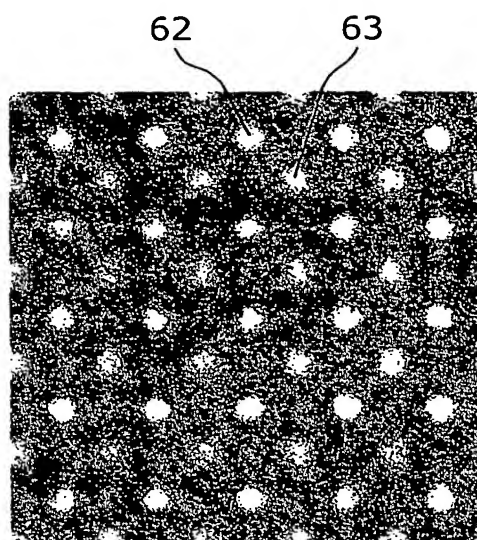


FIG. 15C

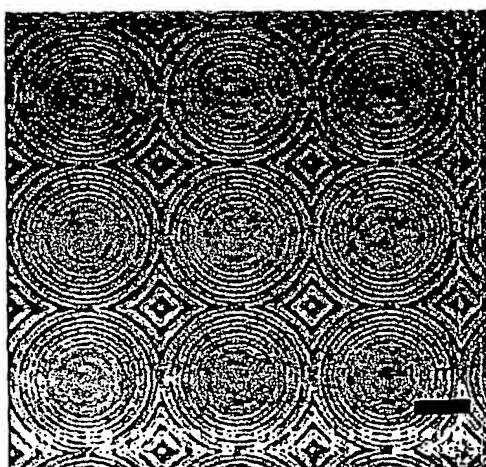


FIG. 15D

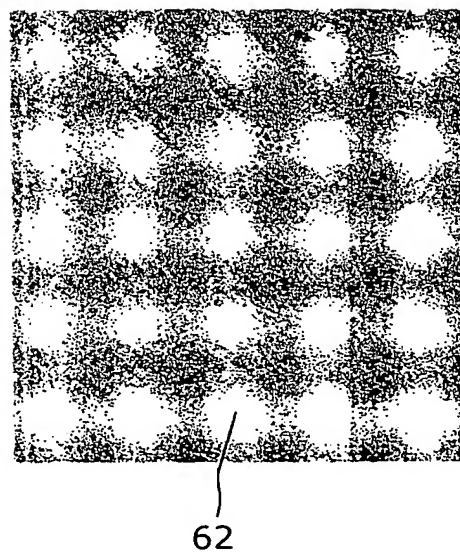


FIG. 16A

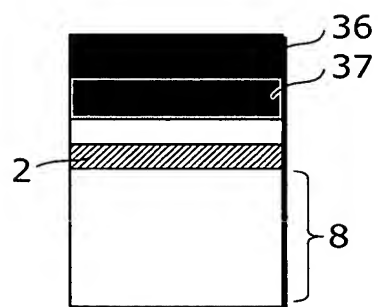


FIG. 16C

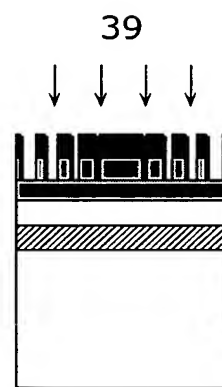


FIG. 16B

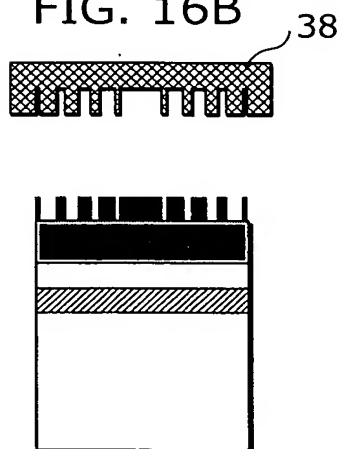
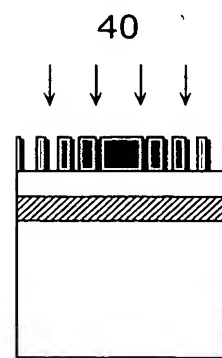


FIG. 16D



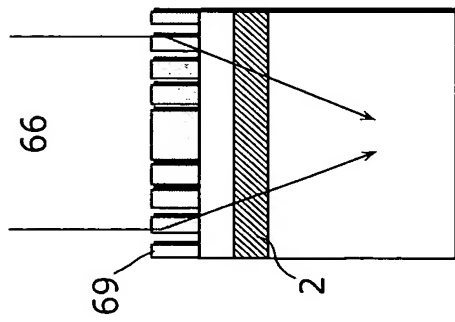


FIG. 17A

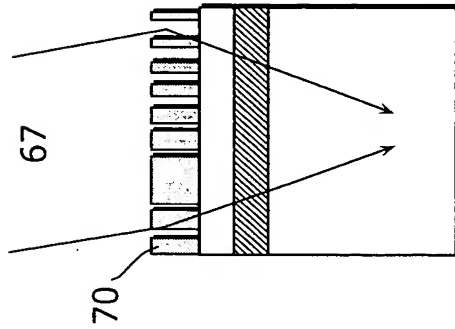


FIG. 17B

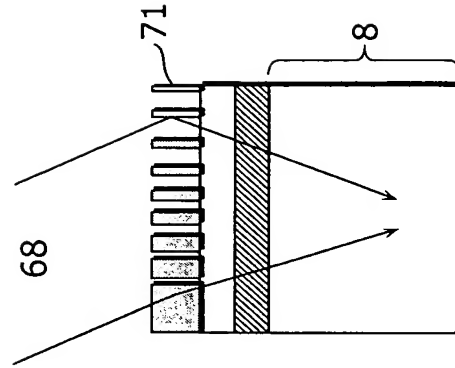


FIG. 17C

FIG. 18A

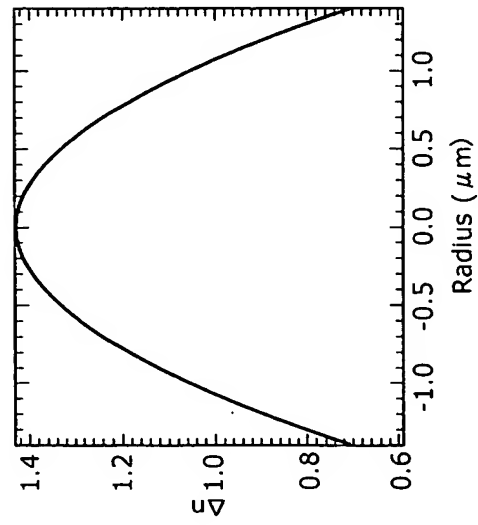


FIG. 18B

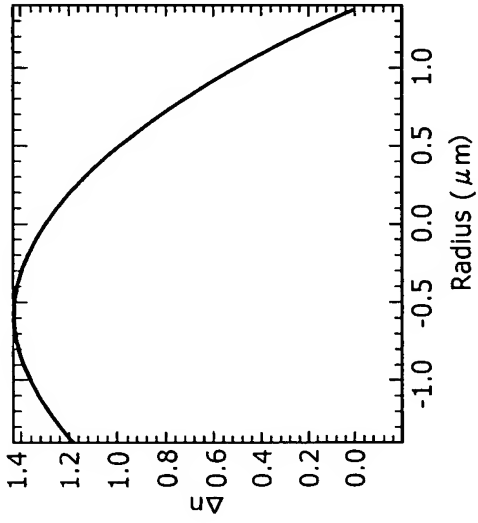


FIG. 18C

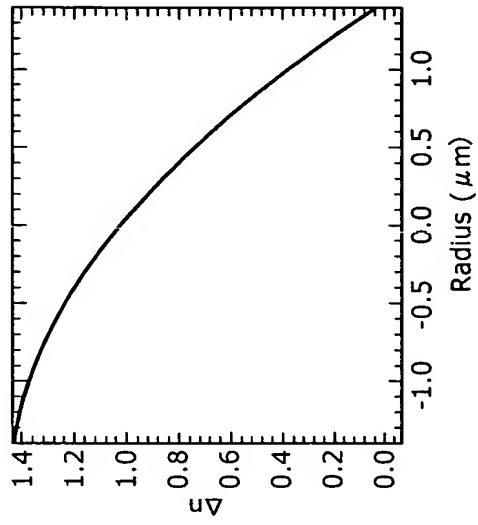


FIG. 19

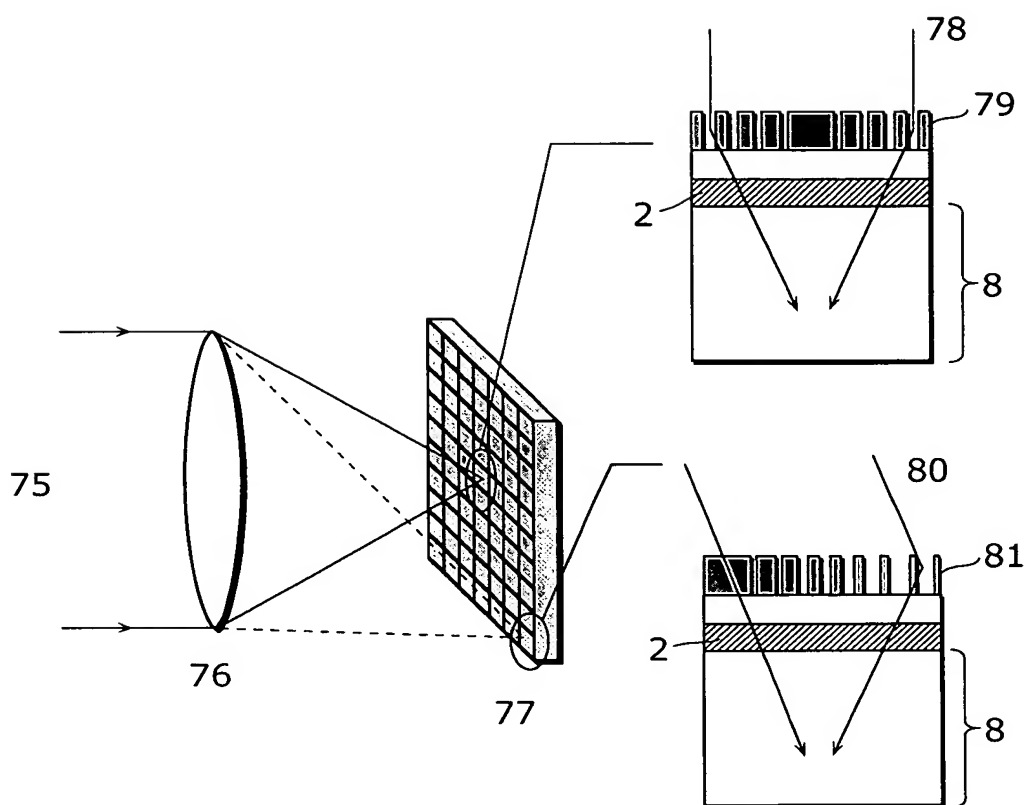


FIG. 20

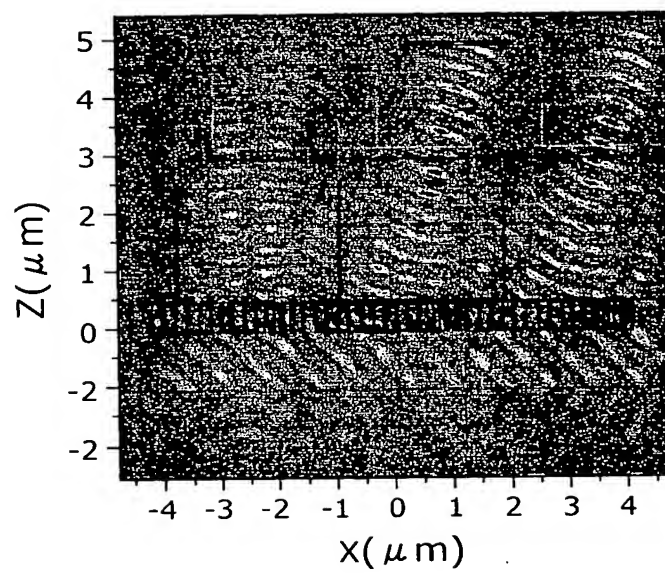


FIG. 21A

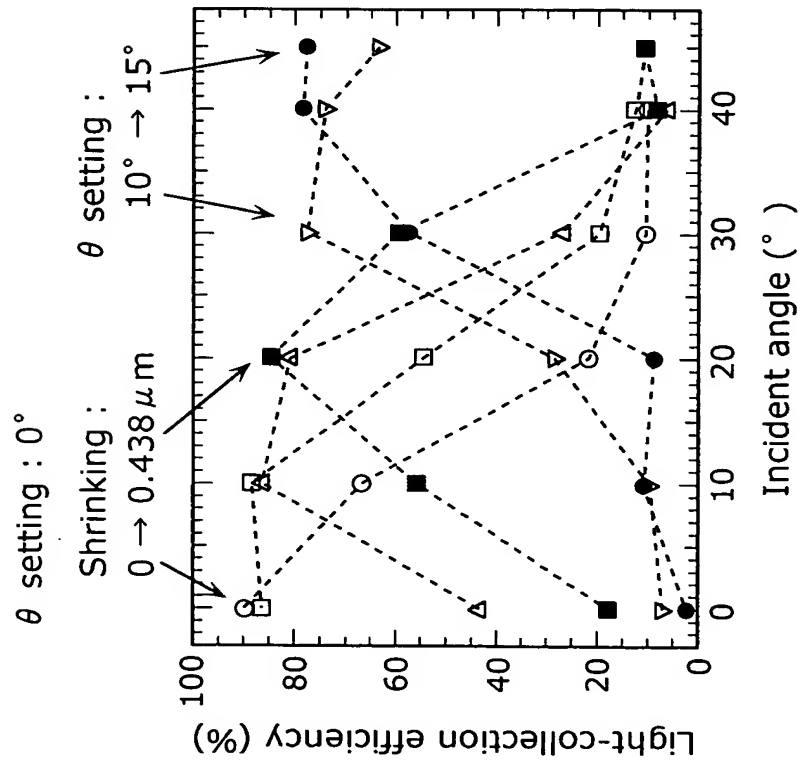
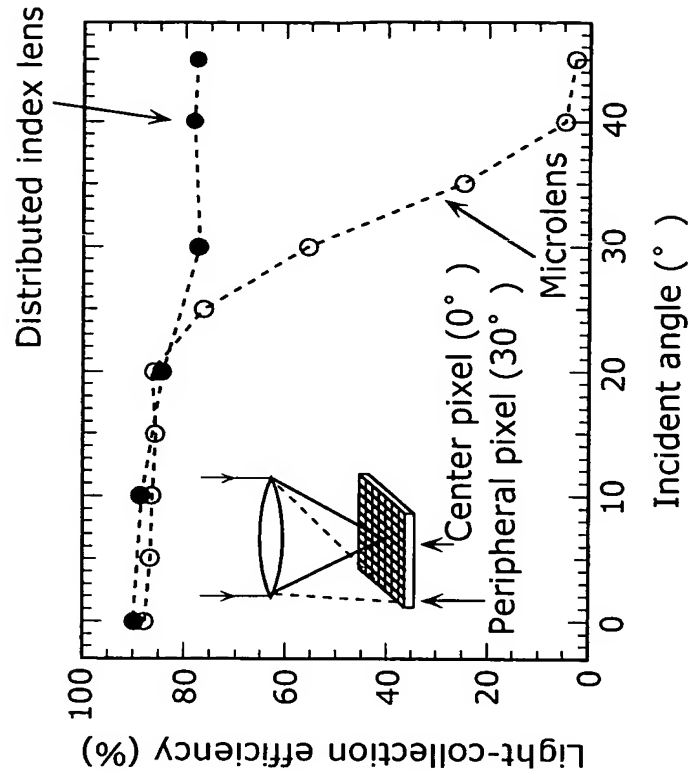


FIG. 21B



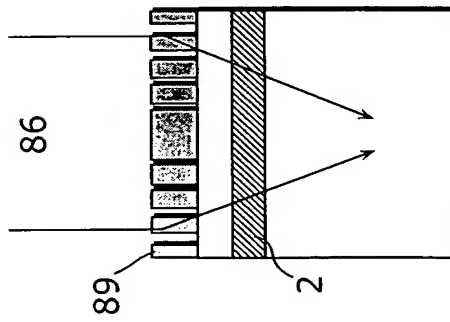


FIG. 22A

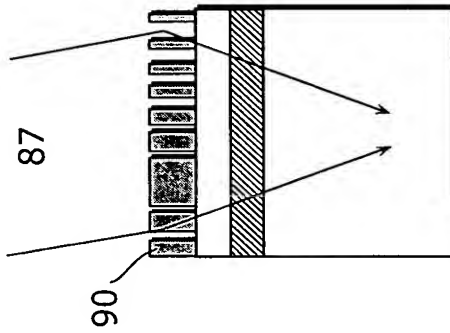


FIG. 22B

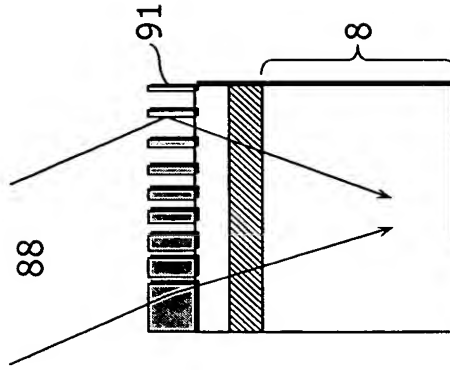


FIG. 22C

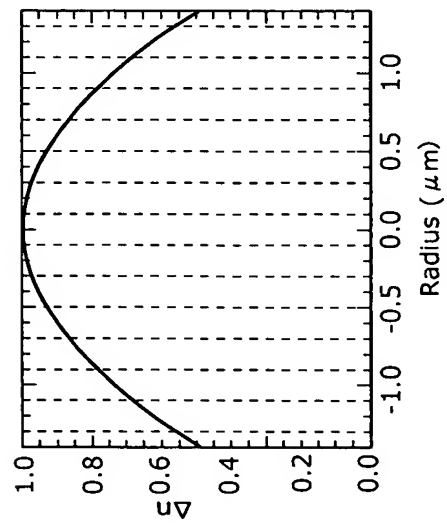


FIG. 23A

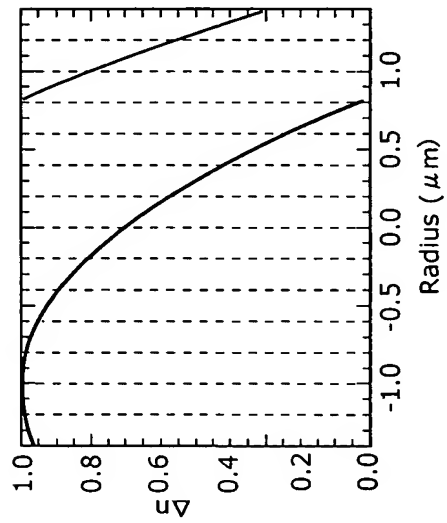


FIG. 23B

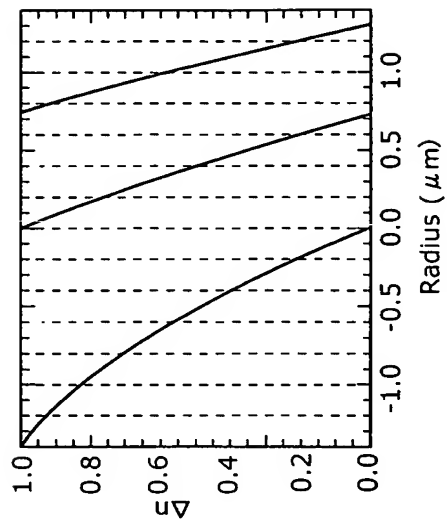


FIG. 23C

FIG. 24

Contour Map of H_y at $c T = 28.672 \mu m$

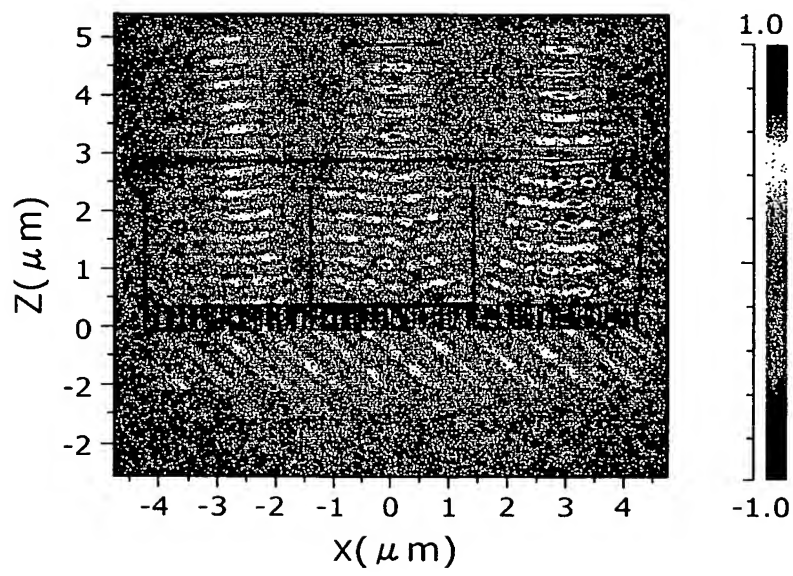


FIG. 25A

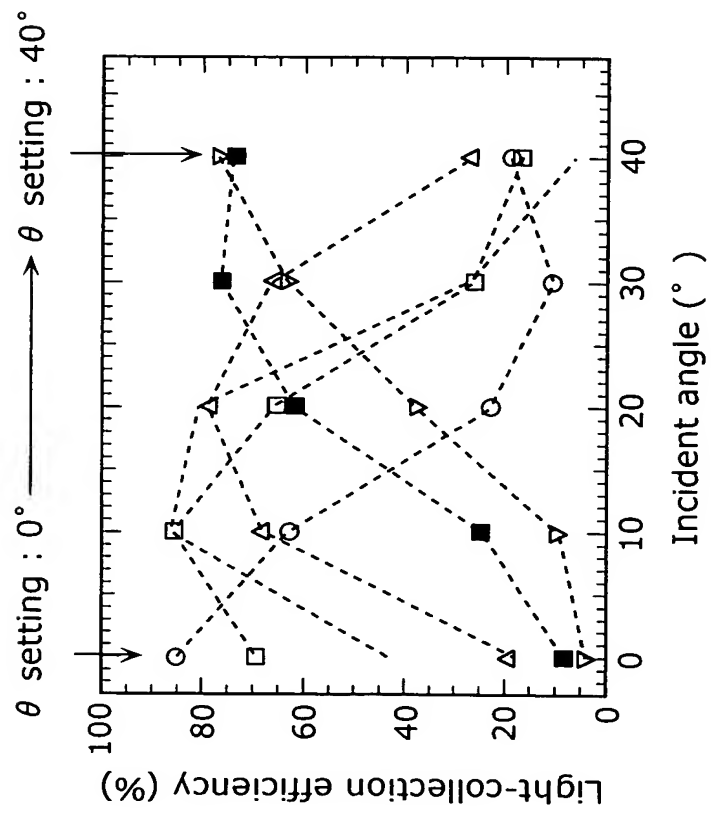


FIG. 25B

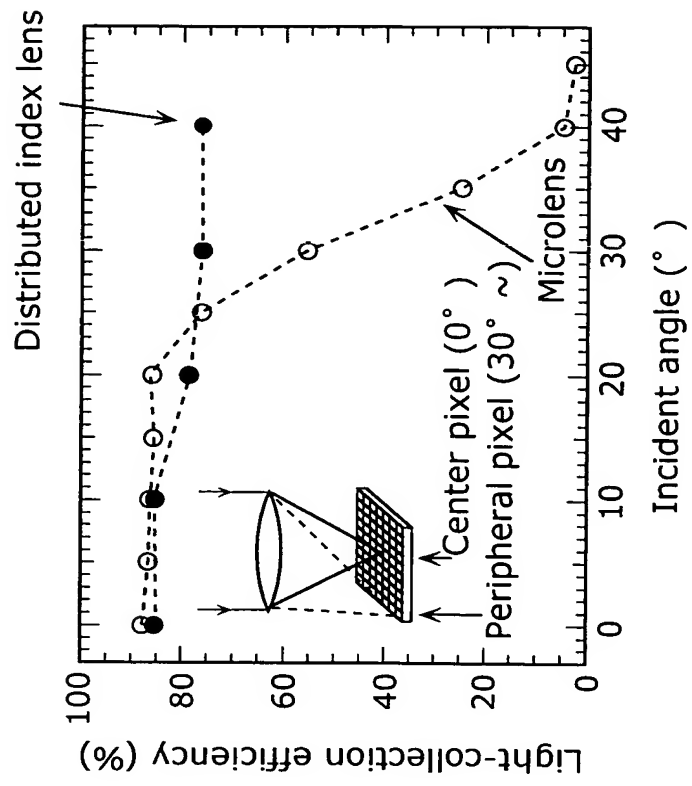


FIG. 26

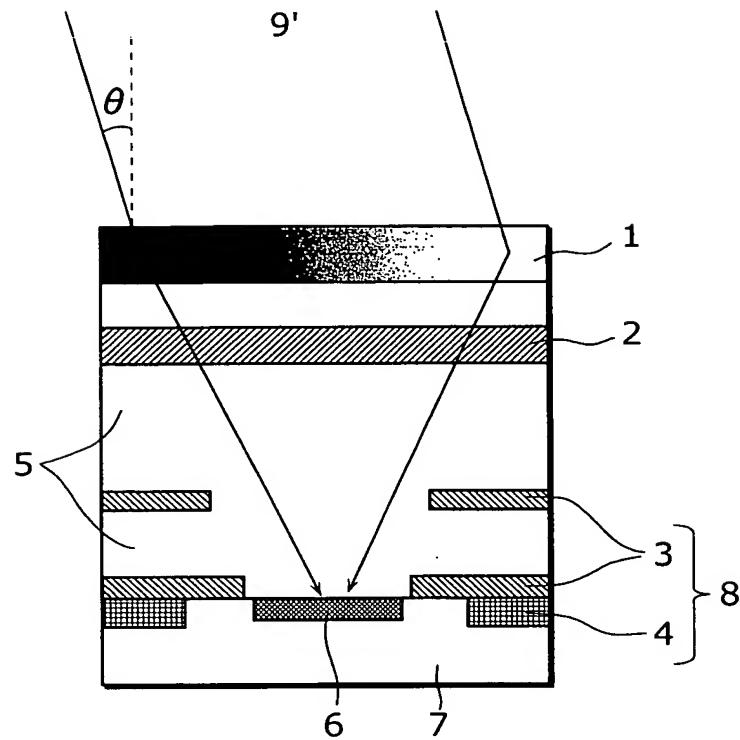


FIG. 27

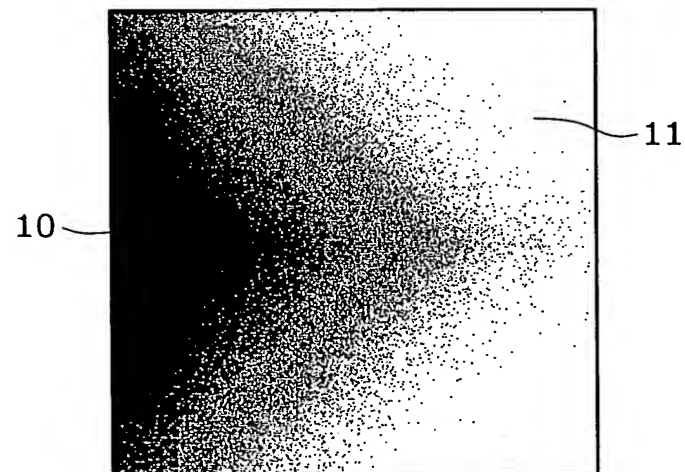


FIG. 28A

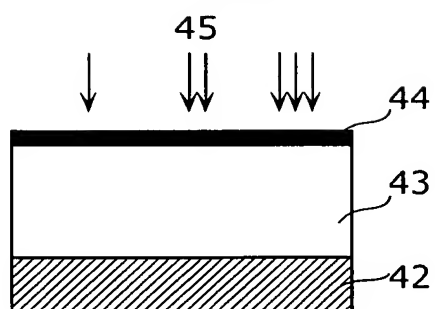


FIG. 28B

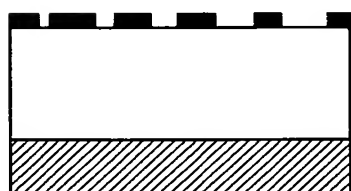


FIG. 28D

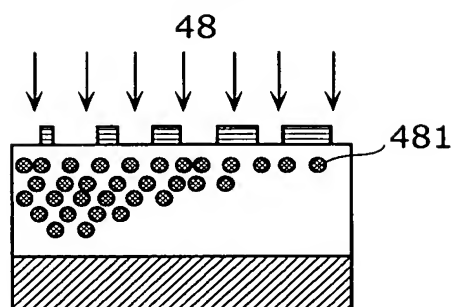


FIG. 28C

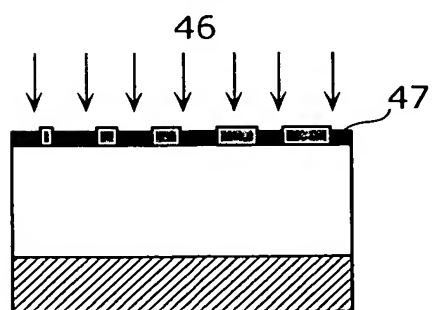


FIG. 28E

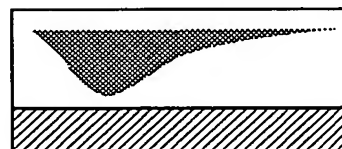


FIG. 29

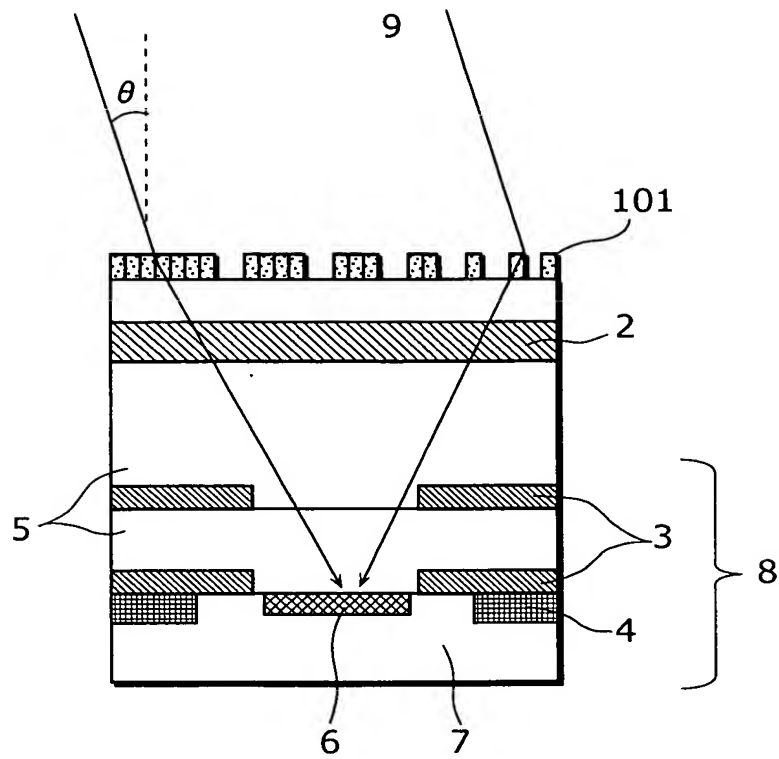


FIG. 30

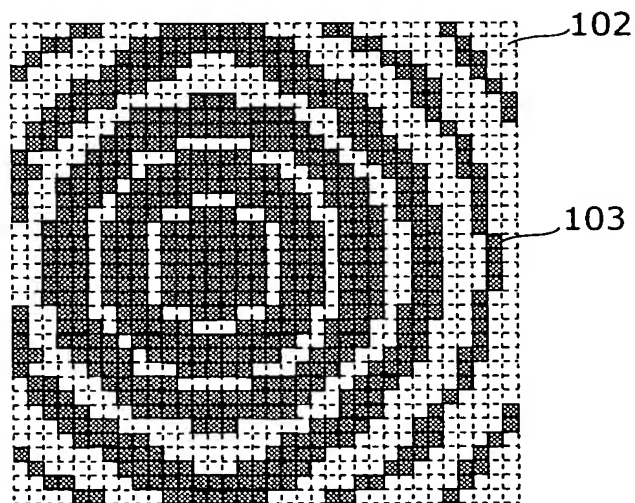


FIG. 31A

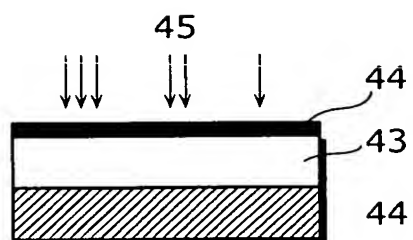


FIG. 31B

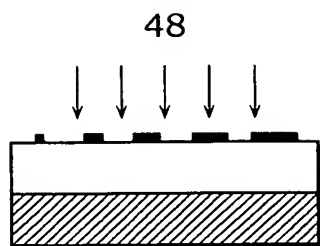


FIG. 31C



FIG. 31D

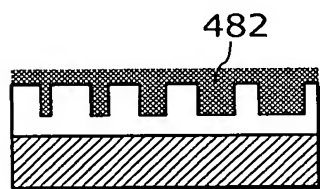


FIG. 31E

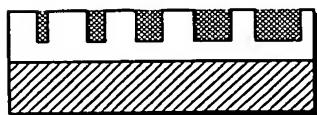


FIG. 32

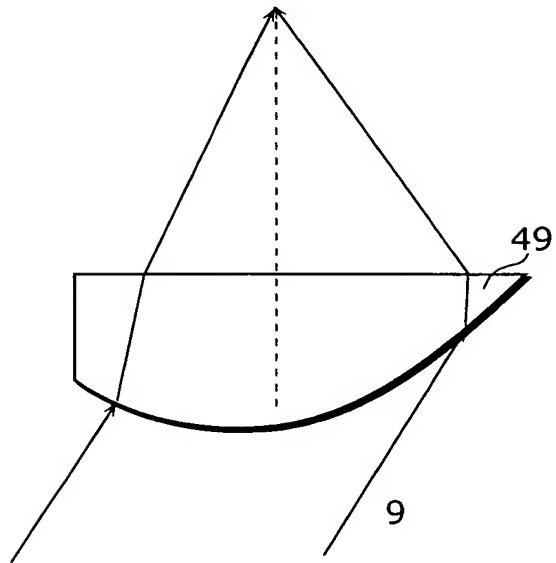


FIG. 33

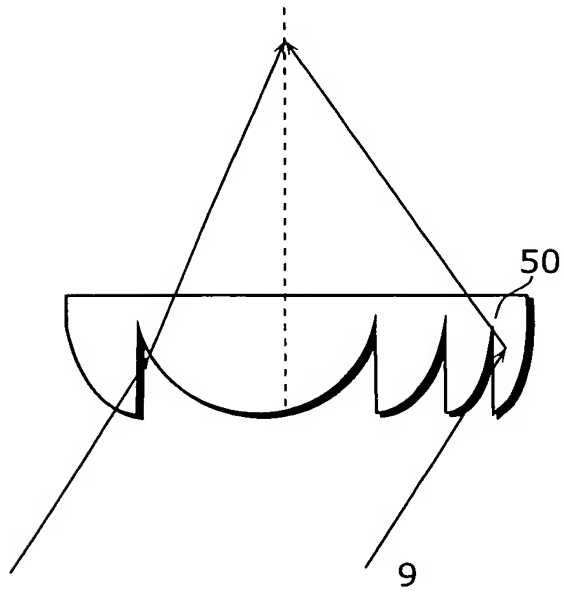


FIG. 34

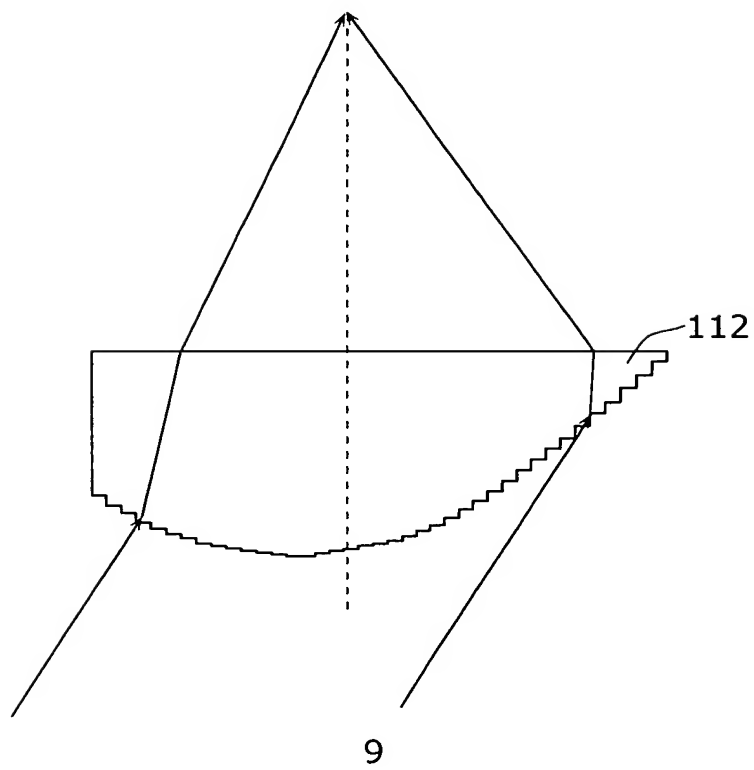


FIG. 35

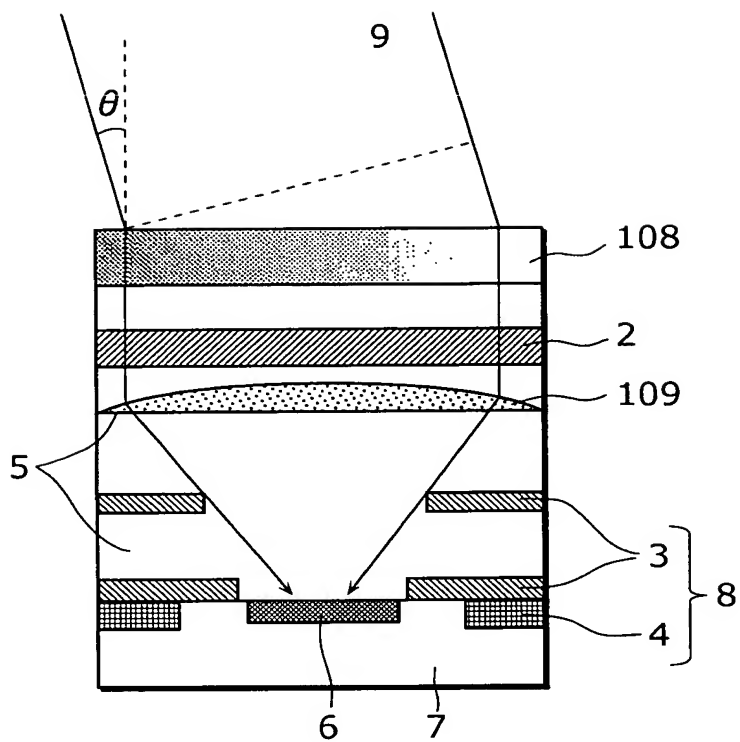


FIG. 36A

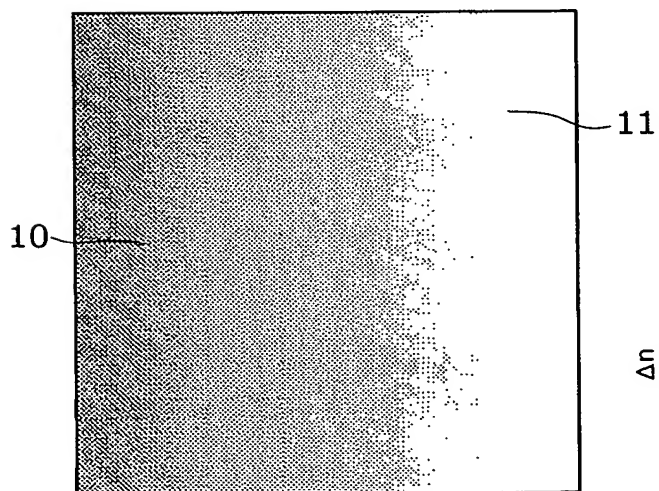


FIG. 36B

